



清华大学

计算机组成原理

计算机实验报告

支持 THCO MIPS 指令系统的流水线计算机设计与实现

作者:

董胤蓬、钱雨杰、桥本优

指导教师:

刘卫东、李山山

清华大学
计算机科学与技术系

December 9, 2015

Abstract

计算机实验报告

董胤蓬、钱雨杰、桥本优

The Thesis Abstract is written here (and usually kept to just this page). The page is kept centered vertically so can expand into the blank space above the title too...

Contents

Abstract	i
1 实验目的	1
2 实验环境	2
2.1 硬件环境	2
2.1.1 Subsection 1	2
2.1.2 Subsection 2	2
2.2 软件环境	3
3 实验设计	4
3.1 CPU 流水结构	4
3.1.1 整体设计	4
3.1.2 数据通路	4
3.1.3 控制信号	5
3.1.4 冲突处理	9
结构冲突	9
数据冲突	9
控制冲突	9
3.2 寄存器堆	10
3.3 存储器	11
3.4 中断处理	11
3.4.1 ESC 硬件中断	11
3.4.2 Control C 硬件中断	11
3.4.3 软件中断	12

3.4.4 时钟中断	12
3.5 I/O	13
3.6 多道程序	13
Bibliography	14

Chapter 1

实验目的

本实验是清华大学计算机科学与技术系开设的《计算机组成原理》课程实验。

实验任务是设计和实现一台支持指令流水的计算机。实验计算机的 CPU 采用五段流水线结构，支持 THCO MIPS 指令系统，并适当应用数据旁路、分支预测等技术提高流水线效率；使用 SRAM 作为存储器，并对内存进行管理；实验计算机的 I/O 通过串口与运行终端程序的 PC 连接，实现输入输出。实验计算机实现后需要运行监控程序，并可以通过监控程序实现用户写入指令、执行指令、查看寄存器和内存等操作。

实验可以在基础要求上进行一些扩展,包括软硬件中断处理、PS2 键盘输入、VGA 输出、双机通信、多道程序等。

通过实验，可以加深对于计算机系统知识的理解，进一步理解和掌握流水线结构计算机的各部件组成和内部工作原理，掌握计算机外部设备输入输出的设计实现，培养硬件设计和调试的能力。

Chapter 2

实验环境

2.1 硬件环境

Lorem ipsum dolor sit amet, consectetur adipiscing elit. Aliquam ultricies lacinia euismod. Nam tempus risus in dolor rhoncus in interdum enim tincidunt. Donec vel nunc neque. In condimentum ullamcorper quam non consequat. Fusce sagittis tempor feugiat. Fusce magna erat, molestie eu convallis ut, tempus sed arcu. Quisque molestie, ante a tincidunt ullamcorper, sapien enim dignissim lacus, in semper nibh erat lobortis purus. Integer dapibus ligula ac risus convallis pellentesque.

2.1.1 Subsection 1

Nunc posuere quam at lectus tristique eu ultrices augue venenatis. Vestibulum ante ipsum primis in faucibus orci luctus et ultrices posuere cubilia Curae; Aliquam erat volutpat. Vivamus sodales tortor eget quam adipiscing in vulputate ante ullamcorper. Sed eros ante, lacinia et sollicitudin et, aliquam sit amet augue. In hac habitasse platea dictumst.

2.1.2 Subsection 2

Morbi rutrum odio eget arcu adipiscing sodales. Aenean et purus a est pulvinar pellentesque. Cras in elit neque, quis varius elit. Phasellus fringilla, nibh eu tempus venenatis, dolor elit posuere quam, quis adipiscing urna leo nec orci. Sed nec nulla auctor odio aliquet consequat. Ut nec nulla in ante ullamcorper aliquam at sed dolor. Phasellus fermentum magna in augue gravida cursus. Cras sed pretium lorem. Pellentesque eget ornare odio. Proin accumsan, massa viverra cursus pharetra, ipsum nisi lobortis velit, a malesuada dolor lorem eu neque.

2.2 软件环境

Sed ullamcorper quam eu nisl interdum at interdum enim egestas. Aliquam placerat justo sed lectus lobortis ut porta nisl porttitor. Vestibulum mi dolor, lacinia molestie gravida at, tempus vitae ligula. Donec eget quam sapien, in viverra eros. Donec pellentesque justo a massa fringilla non vestibulum metus vestibulum. Vestibulum in orci quis felis tempor lacinia. Vivamus ornare ultrices facilisis. Ut hendrerit volutpat vulputate. Morbi condimentum venenatis augue, id porta ipsum vulputate in. Curabitur luctus tempus justo. Vestibulum risus lectus, adipiscing nec condimentum quis, condimentum nec nisl. Aliquam dictum sagittis velit sed iaculis. Morbi tristique augue sit amet nulla pulvinar id facilisis ligula mollis. Nam elit libero, tincidunt ut aliquam at, molestie in quam. Aenean rhoncus vehicula hendrerit.

Chapter 3

实验设计

3.1 CPU 流水结构

3.1.1 整体设计

我们设计并实现了五级流水结构的 CPU，对每条指令的处理分为 IF、ID、EXE、MEM、WB 五个阶段。采用 25M 时钟，每个时钟周期流水线的每一个阶段完成一条指令的一部分，不同阶段并行完成不同指令的不同部分。同时每两个阶段之间均有一个段间锁存器，用与接收上一阶段的信号并在下一个时钟上升沿到来时传递到下一阶段。

流水线五个阶段的功能与所占用的资源如下：

IF：根据输入的 PC 值从内存中取出指令。在执行写入命令时，还需要根据 PC 值向内存中写入用户指令。占用资源：IM、PC、总线

ID：根据 IF 阶段读取的指令进行译码，从寄存器堆中读出所需寄存器的值。占用资源：寄存器组

EXE：根据 ID 阶段生成的控制信号、操作数和操作符进行计算，将结果传递到下一阶段。占用资源：ALU

MEM：根据 ID 阶段生成的控制信号执行写入内存和读取内存的操作，在实现时还需考虑串口的读写与 VGA/Keyboard 的读写访问。占用资源：DM、总线

WB：根据控制信号执行写回寄存器的操作。占用资源：寄存器组

3.1.2 数据通路

我们设计的数据通路见 Figure 3.1.

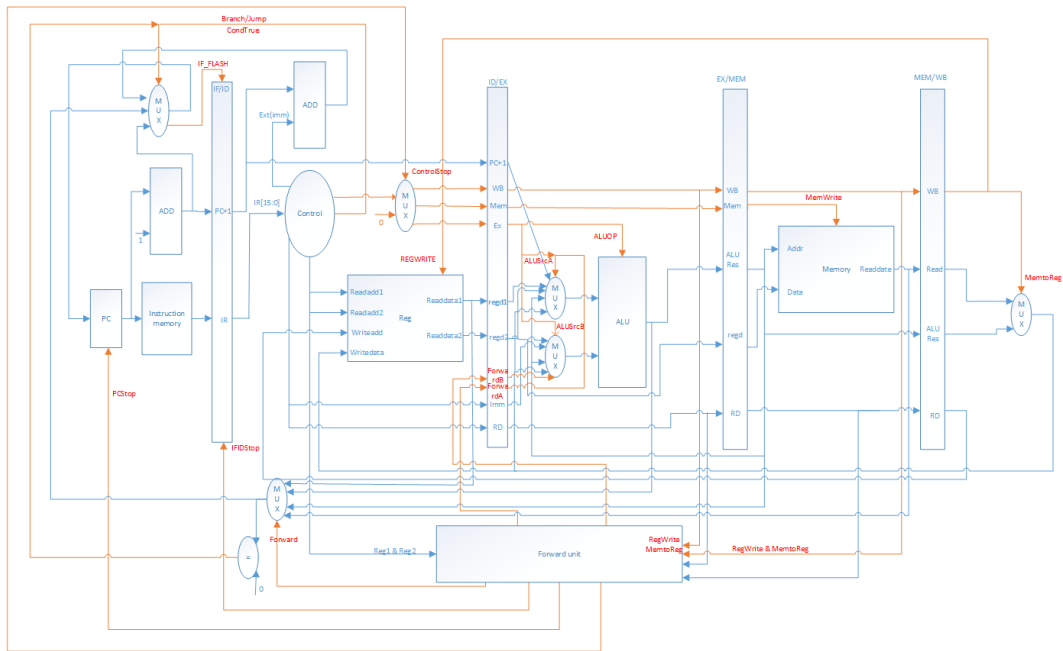


FIGURE 3.1: 数据通路.

在数据通路的设计上，我们基本遵循经典的五级流水线结构，但是在其基础上有了一些变化和改进。

我们将处理数据冲突的模块全部放在了 Forward Unit 中。既可以将将在 EXE、MEM 的计算结果流回到下一条指令的 EXE 阶段，同时也可以对访存操作的数据冲突进行插气泡处理。Forward Unit 模块还可以处理跳转指令的数据冲突，这样整体结构更加简洁。

我们新增 PC 模块，同于计算下一周期取指的 PC 值，根据跳转信号进行计算，可以解决控制冲突。具体实现见冲突处理部分。

3.1.3 控制信号

在 ID 阶段译码的过程中，会产生很多控制信号，针对我们所需实现的 30 条指令的指令集，我们设计的控制信号为：

ALUOP : ALU 运算器的操作符，包括的类型有 ADD (加法)、SUB (减法)、ASSIGNA (赋操作数 A 的值)、ASSIGNB (赋操作数 B 的值)、AND (与)、OR (或)、SLL (逻辑左移)、SRA (算数右移)、EQUAL (判断相等)、LESS (判断小于)、EMPTY (无操作)。

SRCREGA : 读取第一个寄存器值的控制使能。1 表示 IR[10:8], 0 表示特殊寄存器。

SRCREGB : 读取第二个寄存器值的控制使能。1 表示 IR[10:8], 0 表示 IR[7:5]。

REGDST : 写回寄存器编号的控制使能。00 表示特殊寄存器, 01 表示 IR[10:8], 10 表示 IR[7:5], 11 表示 IR[4:2]。

ALUSRCA : ALU 运算器第一个操作数的选择信号。00 表示 Reg[IR[10:8]], 01 表示 Reg[IR[7:5]], 10 表示 EPC。

ALUSRCB : ALU 运算器第二个操作数的选择信号。1 表示 reg[IR[7:5]], 0 表示 extend(imm)。

EXTOP : 立即数扩展方式。0 表示符号扩展, 1 表示零扩展。

MEMTOREG : 读取内存并写回寄存器使能。

REGWRITE : 写回寄存器使能。

MEMWRITE : 内存写使能。

BRANCH : B 指令跳转信号。00 表示无 B 型跳转, 10 表示无条件跳转, 01 表示不等条件跳转, 11 表示相等条件跳转。

JUMP : J 指令跳转使能。

对于每条指令的控制信号, 见表 3.1—3.5, 其中的‘x’表示没有使用。

TABLE 3.1: Control Signals

	ADDIU	ADDIU3	ADDSP	ADDU	AND	B
ALUOP	ADD	ADD	ADD	ADD	AND	EMPTY
SRCREGA	1	1	0	1	1	x
SRCREGB	x	x	x	0	0	x
REGDST	01	10	00	11	01	x
ALUSRCA	00	00	00	00	00	x
ALUSRCB	0	0	0	1	1	x
EXTOP	0	0	0	x	x	0
MEMTOREG	0	0	0	0	0	0
REGWRITE	1	1	1	1	1	0
MEMWRITE	0	0	0	0	0	0
BRANCH	00	00	00	00	00	10
JUMP	0	0	0	0	0	0

TABLE 3.2: Control Signals

	BEQZ	BNEZ	BTEQZ	CMP	CMPI	JALR
ALUOP	EMPTY	EMPTY	EMPTY	EQUAL	EQUAL	ASSIGNA
SRCREGA	1	1	0	1	1	1
SRCREGB	x	x	x	0	x	x
REGDST	x	x	x	00	00	00
ALUSRCA	x	x	x	00	00	10
ALUSRCB	x	x	x	1	0	x
EXTOP	0	0	0	x	0	x
MEMTOREG	0	0	0	0	0	0
REGWRITE	0	0	0	1	1	1
MEMWRITE	0	0	0	0	0	0
BRANCH	11	01	11	00	00	00
JUMP	0	0	0	0	0	1

TABLE 3.3: Control Signals

	JR	JRRA	LI	LW	LW_SP	MFIH
ALUOP	EMPTY	EMPTY	ASSIGNB	ADD	ADD	ASSIGNA
SRCREGA	1	0	x	1	0	0
SRCREGB	x	x	x	x	x	x
REGDST	x	x	01	10	01	01
ALUSRCA	x	x	x	00	00	00
ALUSRCB	x	x	0	0	0	x
EXTOP	x	x	1	0	0	x
MEMTOREG	0	0	0	1	1	0
REGWRITE	0	0	1	1	1	1
MEMWRITE	0	0	0	0	0	0
BRANCH	00	00	00	00	00	00
JUMP	1	1	0	0	0	0

TABLE 3.4: Control Signals

	MFPC	MOVE	MTIH	MTSP	NOP	OR
ALUOP	ASSIGNA	ASSIGNA	ASSIGNA	ASSIGNA	EMPTY	OR
SRCREGA	x	x	1	x	x	1
SRCREGB	x	0	x	0	x	0
REGDST	01	01	00	00	x	01
ALUSRCA	10	01	00	01	x	00
ALUSRCB	x	x	x	x	x	1
EXTOP	x	x	x	x	x	x
MEMTOREG	0	0	0	0	0	0
REGWRITE	1	1	1	1	0	1
MEMWRITE	0	0	0	0	0	0
BRANCH	00	00	00	00	00	00
JUMP	0	0	0	0	0	0

TABLE 3.5: Control Signals

	SLL	SLTI	SRA	SUBU	SW	SW_SP
ALUOP	SLL	LESS	SRA	SUB	ADD	ADD
SRCREGA	x	1	x	1	1	0
SRCREGB	0	x	0	0	0	1
REGDST	01	00	01	11	x	x
ALUSRCA	01	00	01	00	00	00
ALUSRCB	0	0	0	1	0	0
EXTOP	1	0	1	x	0	0
MEMTOREG	0	0	0	0	0	0
REGWRITE	1	1	1	1	0	0
MEMWRITE	0	0	0	0	1	1
BRANCH	00	00	00	00	00	00
JUMP	0	0	0	0	0	0

除了以上通过译码器产生的控制信号外，还有 FORWARD UNIT 产生的冲突处理信号，我们将在下一节详细说明。

3.1.4 冲突处理

结构冲突

我们采用指令与数据分离存储的方式来避免结构冲突问题。用 RAM1 和 RAM2 分别存储数据和指令。但在监控程序功能中有一个 A 指令需要向指令存储器中写入用户指令，这时，我们通过在 MEM 阶段判断写入地址是否为指令内存地址区间，并产生控制信号 IFWE。在 IF 阶段如果接收到信号 IFWE，则将流水线暂停一个周期用来写入指令。

数据冲突

我们在这里仅讨论两种不涉及跳转的数据冲突，两种冲突分别为涉及访存和不涉及访存的冲突。比如：

Example1: ADDU R1 R2 R3; SLL R3 R3 0x00

Example2: LW R1 R3 0x00; SLL R3 R3 0x00

数据冲突产生原因是前一条指令或者前两条指令需要写回寄存器，而当前的指令又要访问寄存器中的值。这时我们通过增加旁路的方式将之前的计算结果传输到当前的操作数上。

在 FORWARD UNIT 中，通过判断上一条指令（或上两条指令）的写回寄存器编号与当前目的寄存器编号是否相等来判断是否发生数据冲突。对于涉及访存的数据冲突，我们需要插入气泡等待一个周期，使得上一条指令 MEM 阶段执行完毕取出内存数之后，再参与下一条指令的运算。FORWARD UNIT 产生的控制信号为：

FORWARDA：ALU 第一个操作数选择信号。00 表示无冲突，使用 ID 阶段读取的寄存器的值；01 表示与上一条指令发生冲突，选择 ALU 的结果；10 表示与上两条指令发生冲突，选择 MEM 的结果

FORWARDDB：ALU 第二个操作数选择信号。与 FORWARDA 类似。

PCSTOP, IFIDSTOP, CONTROLSTOP：插入气泡的控制信号。

控制冲突

控制冲突是由于 B 指令与 J 指令而产生的。我们将跳转地址的计算放在 ID 阶段执行。这样，在控制器译码结束后，可以直接计算出跳转后的 PC 值，故这种做法不需要分支预测，可以提高速度。另外，我们采用打开延迟槽的策略，对跳转指令的下一条指令继续执行。

在实际的冲突中，控制冲突往往与数据冲突结合在一起，比如：

Example3: ADDU R1 R2 R3; JR R3;

Example4: LW R1 R3 0x00; BEQZ R3 0x10;

在以上的两个例子中,既发生了控制冲突,同时也存在数据冲突。我们同样使用增加旁路的办法,唯一的不同在于旁路的信号需要传送到 ID 阶段进行计算。FORWARD UNIT 模块同样可以产生数据冲突的信号,用于选择跳转所需的寄存器的值。在 PC 模块中,根据跳转信号与冲突选择信号选取下一条指令的 PC 值。

3.2 寄存器堆

寄存器堆用于存放所有寄存器的值,用于在 ID 阶段读取寄存器值与 WB 阶段写回寄存器的值。读寄存器值为组合逻辑,在信号稳定之前读取的值被锁在 ID_EXE 段间的锁存器中,故不会对后面的结果产生影响。写寄存器值为时序逻辑,必须等待信号稳定后才能写回。由于 MEM_WB 段间锁存器在上升沿触发,故在下降沿进行写回,此时信号已经稳定。

我们将 R0-R7 这八个通用寄存器放在寄存器堆中,同时还将 SP、RA、IH、T 四个系统寄存器也放在寄存器堆中,以方便处理。这样,寄存器的编号需要从三位扩展为四位。各寄存器的编号见表 3.6。

TABLE 3.6: Register Cluster

符号	含义	编号
R0	通用寄存器	0000
R1	通用寄存器	0001
R2	通用寄存器	0010
R3	通用寄存器	0011
R4	通用寄存器	0100
R5	通用寄存器	0101
R6	通用寄存器	0110
R7	通用寄存器	0111
SP	栈顶指针寄存器	1001
T	T 标志寄存器	1010
IH	中断寄存器	1011
RA	返回值寄存器	1100

3.3 存储器

3.4 中断处理

我们实现了四种类型的中断，其中包括两种硬件中断 (ESC 中断：返回到中断 PC；Control C 中断：返回到监控程序)，软件中断，时钟中断。下面对这四种中断分别介绍。

3.4.1 ESC 硬件中断

ESC 硬件中断是通过在用户程序执行时，键盘摁下 ESC 键产生的中断，在监控程序执行时无效。ESC 中断发生时，调用中断处理程序输出中断号，并返回到发生中断的指令继续执行。

这部分硬件中断会复用监控程序的 `delint` 中断处理代码，在中断处理程序中需要用到中断时的 PC 以及中断号，所以需要在发生中断时通过硬件来保存 PC 与中断号，并跳到中断处理程序。在 IF_ID 的段间锁寄存器中加入状态机，来处理 ESC 中断。状态机见 Figure 3.2.

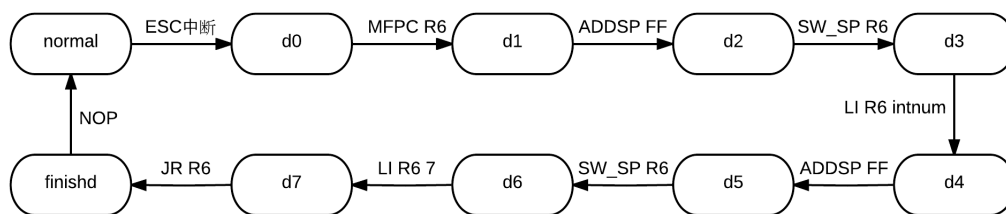


FIGURE 3.2: ESC 硬件中断状态机.

其中箭头上的指令为每个状态机下输出的指令，用来向栈中存储 PC 值和中断号。保存完毕后，跳到中断处理程序执行，同时状态回到 `normal`。

3.4.2 Control C 硬件中断

ESC 硬件中断的不足在于对于死循环的用户程序，中断发生后无法跳出死循环，而是继续回到中断发生的位置执行。我们希望仿照真正计算机上的 Control C 功能，可以实现跳出用户程序的功能。

Control C 中断的处理与 ESC 硬件中断类似，但是不需要再次返回中断时的 PC，而是直接跳到监控程序的 `BEGIN` 部分即可。所以处理过程比 ESC 更加简单，只需要在中断发生后将中断号入栈即可，不需要保存 PC 值。同时需要在监控程序中加入 Control C 中断的处理。状态机见 Figure 3.3.

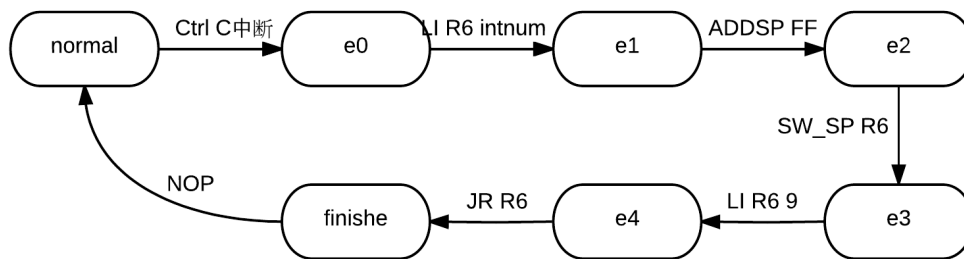


FIGURE 3.3: Control C 硬件中断状态机.

3.4.3 软件中断

软件中断的原理与 ESC 硬件中断一样，通过在控制器译码时产生软件中断的信号，传到 IF_ID 段间锁存器，同时将软件中断号同时传回，按照 ESC 的状态机处理软件中断。

3.4.4 时钟中断

时钟中断指计时时钟到一定的时间后，产生中断信号。我们做时钟中断的原因是为了之后的多道程序，多道程序需要分时执行两套监控程序，故需要有分时机制。多道程序的细节在后面讨论，这里仅讨论一下时钟中断的处理。

时钟中断的处理过程与 ESC 硬件中断基本一致，但是需要注意的一个地方是 ESC 硬件中断只会发生在用户程序中，这时我们就可以随意使用 R6、R7 的值 (因为用户程序不允许使用)。但是时钟中断可以发生在任何地方，在执行监控程序时也会有时钟中断，所以要首先保存 R6 的值，才可以执行后续的保存现场的指令。状态机见 Figure 3.4.

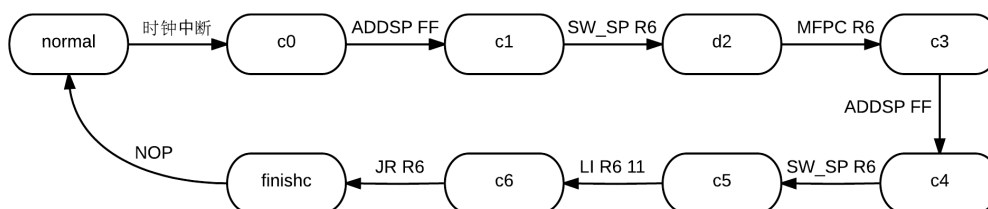


FIGURE 3.4: 时钟中断状态机.

3.5 I/O

3.6 多道程序

Bibliography

- Arnold, A. S. et al. (1998). "A Simple Extended-Cavity Diode Laser". In: *Review of Scientific Instruments* 69.3, pp. 1236–1239. URL: <http://link.aip.org/link/?RSI/69/1236/1>.
- Hawthorn, C. J., K. P. Weber, and R. E. Scholten (2001). "Littrow Configuration Tunable External Cavity Diode Laser with Fixed Direction Output Beam". In: *Review of Scientific Instruments* 72.12, pp. 4477–4479. URL: <http://link.aip.org/link/?RSI/72/4477/1>.
- Wieman, Carl E. and Leo Hollberg (1991). "Using Diode Lasers for Atomic Physics". In: *Review of Scientific Instruments* 62.1, pp. 1–20. URL: <http://link.aip.org/link/?RSI/62/1/1>.